

# Математические методы исследования

УДК 519.245

## ИЗ ПРАКТИКИ ПРИМЕНЕНИЯ МЕТОДА МОНТЕ-КАРЛО

© О. И. Кутузов<sup>1</sup>, Т. М. Татарникова<sup>2</sup>

Статья поступила 31 мая 2016 г.

Рассмотрены две задачи, обусловленные особенностями применения имитационного моделирования при исследовании сложных технических систем. Одна связана с реализацией повышения эффективности метода Монте-Карло при моделировании редких событий: сочетание расслоенной выборки с равновзвешенным моделированием позволяет значительно ускорить алгоритмический анализ моделей стохастических систем методом имитации. Решение другой задачи выявило проблему, связанную с неадекватностью использования одного и того же датчика псевдослучайных чисел при сопоставлении выборочных значений очередей, полученных на имитационных моделях фрактальной и классической СМО.

**Ключевые слова:** метод Монте-Карло; равновзвешенное расслоенное моделирование; эффективность по количеству испытаний; оценка редких событий; машинное время.

### Метод равновзвешенного расслоенного моделирования

Во многих приложениях показатель качества моделируемой системы представляется в виде среднего риска

$$Q = M\{f(\alpha, \beta)\},$$

где  $\alpha = (\alpha_1, \dots, \alpha_n)$  — случайный вектор, описывающий процессы в моделируемой системе;  $\beta = (\beta_1, \dots, \beta_r)$  — вектор, задающий параметры модели;  $f(\cdot)$  — функция, значение которой определяется в ходе вероятностного моделирования при различных реализациях  $x_i$ ,  $i = \overline{1, N}$ , вектора  $\alpha$ .

В частности, если  $f(\cdot) = \xi = 1$  при выполнении моделируемой системой заданных требований и  $f(\cdot) = \xi = 0$  в противном случае, то  $Q(\beta)$  есть вероятность выполнения заданных требований. Решение задач, связанных с оценкой редких событий, может быть сведено к оцениванию математического ожидания  $M\xi$  двоичной случайной величины (СВ)  $\xi$ , заданной в виде функции  $\xi = f(\alpha)$ , причем СВ  $\alpha = (\alpha_1, \dots, \alpha_n)$  имеет закон распределения  $p(\alpha \sim p)$ , который известен.

Расчет оценки для  $M\xi$  может выполняться с помощью различных аналитико-статистических алгоритмов. Их эффективность будем характеризовать дисперсией оценки при фиксированном числе  $N$  опы-

тов. Чем меньше дисперсия оценки, тем точнее алгоритм и тем он эффективнее, если, конечно, сложность расчетов в сравниваемых алгоритмах различается незначительно.

При прямом статистическом моделировании («чистом» методе Монте-Карло) генерируется  $N$  независимых реализаций  $\alpha^1, \dots, \alpha^N$  случайной величины  $\alpha$  и вычисляются  $\varepsilon^i = f(\alpha^i)$ ,  $i = \overline{1, N}$ . Оценка  $\hat{m} = (\xi^1 + \dots + \xi^N)/N$  и дисперсия  $D\hat{m}$  оценки  $\hat{m}$  составляет величину  $D\xi/N$ .

При методе расслоения [1] искомая оценка

$$\hat{m}_p = \sum_i^L p_i \hat{m}_i,$$

где  $L$  — число слоев;  $\hat{m}_i$  и  $p_i$  — оценка и вероятность  $i$ -го слоя,

$$\hat{m}_i = \frac{1}{N_i} \sum_{j=1}^{N_i} \xi_i^j \text{ для } M\xi_i, i = \overline{1, L}, \sum_i N_i = N.$$

В работе [2] предложен оригинальный алгоритм взвешенного моделирования. Вместо случайной величины  $\alpha$  разыгрываются равновероятные ее реализации  $\gamma \sim p_0(x)$ ,  $x \in X$ ,  $p_0(x_j) = 1/n$ ,  $j = \overline{1, n}$ , и показатель  $M\xi$  оценивается как математическое ожидание случайной величины  $\zeta = nf(\gamma)p(\gamma)$  на том основании, что  $M\xi = M\zeta$ :

$$M\xi = \sum_{x \in X} nf(x)p(x)p_0(x) = \sum_x \varepsilon x f(x)p(x) = M\xi.$$

Этот конкретный метод равновзвешенного моделирования (РВМ) по существу реализует случайный

<sup>1</sup> Санкт-Петербургский государственный электротехнический университет «ЛЭТИ» им. В. И. Ульянова (Ленина), г. Санкт-Петербург, Россия; <http://www.eltech.ru>

<sup>2</sup> Санкт-Петербургский государственный университет аэрокосмического приборостроения, г. Санкт-Петербург, Россия; <http://guap.ru>

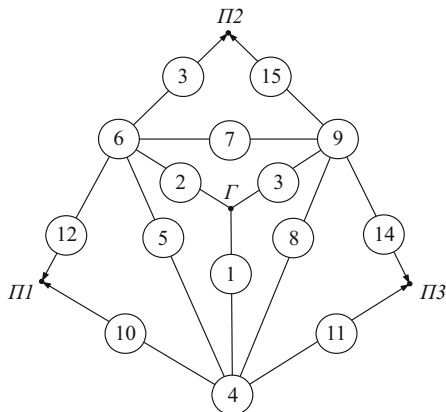


Рис. 1. Структурная схема рассматриваемой системы

выбор с равными вероятностями для возможных состояний системы.

В общем случае РВМ проигрывает по числу испытаний ( $N_{\text{PBM}}$ ) прямому моделированию методом Монте-Карло ( $N_{\text{n}}$ ). Оценка этого проигрыша получена в виде [3]

$$t = N_{\text{PBM}}/N_{\text{n}} = 1 + \rho^2, \quad (1)$$

где  $\rho$  — коэффициент вариации множества вероятностей для единичных значений функции  $f(\mathbf{a})$ .

Из формулы (1) следует, что при равновзвешенном моделировании требуется провести в  $(1 + \rho^2)$  раз большее число прогонов модели, чем при прямом методе Монте-Карло, чтобы получить одинаковую точность оценок.

Уменьшить значение показателя  $t$  можно за счет совместного применения расслоения и равновзвешенного моделирования. Рассмотрим такую возможность.

Эффективность равновзвешенного моделирования оценим по соотношению числа испытаний (опытов), необходимых для получения оценки с одинаковой точностью при РВМ и при прямом моделировании методом Монте-Карло.

В общем случае при прямом моделировании полное количество испытаний  $N_{\text{n}}$ , необходимых для получения оценки с заданной точностью, условно представим в виде двух подмножеств ( $N'_{\text{n}}$  и  $N''_{\text{n}}$ ) таких, что

$$N_{\text{n}} = N'_{\text{n}} + N''_{\text{n}},$$

где  $N'_{\text{n}}$  — число испытаний, реализации которых могут содержать положительный исход, т.е. в каждой

**Таблица 1.** Оценки вероятности отказа системы при аналитическом (графа  $A$ ), РВМ (графа  $B$ ) и РВМ с расслоением (графа  $C$ ) моделировании

Вариант исходных данных	$A$		$B$ ( $N = 1000$ )		$C$ ( $N = 1020$ )		
	$M\xi \cdot 10^8$	$\hat{Q}\xi \cdot 10^8$	$\hat{\vartheta}$	$\hat{m}_0 \cdot 10^8$	$\hat{\vartheta}$	$\hat{m}_0 \cdot 10^8$	$\hat{\vartheta}$
I	12,00	12,40	0,086	11,82	0,069		
II	0,120	0,1271	0,085	0,1183	0,069		
III	—	1,549	0,354	1,505	0,068		

из этих реализаций возникает состояние, для которого с вероятностью  $0 < p^+ < 1$  возможно значение  $\xi = f(x_i) = 1$ ,  $i \in N'_{\text{n}}$  (назовем такие реализации содержательными);  $N''_{\text{n}}$  — число испытаний, реализации которых не могут содержать положительного исхода, т.е. в каждой из этих реализаций возникает состояние, для которого с вероятностью  $p = 1$  значение  $\xi = f(x_i) = 0$ ,  $i \in N''_{\text{n}}$  (назовем такие реализации пустыми).

Чтобы при прямом моделировании получить  $N'_{\text{n}}$  содержательных реализаций, необходимо провести в среднем

$$N_{\text{n}} = \frac{N'_{\text{n}}}{p^+}$$

испытаний. При этом получим оценку, точность которой характеризуется дисперсией  $D\xi$ .

При совместном применении расслоения и равновзвешенного моделирования проводим только содержательные испытания, число которых

$$N_{\text{PBM}} = N'_{\text{n}}(1 + \rho^2),$$

и получаем оценку с дисперсией  $D\xi = D\xi$ . Соотношение числа испытаний при условии  $D\xi = D\xi$  составляет

$$t = \frac{N_{\text{n}}}{N_{\text{PBM}}} = \frac{1}{p^+(1 + \rho^2)}. \quad (2)$$

Таким образом, выигрыш в числе испытаний при переходе от прямого моделирования к совместному применению расслоения и равновзвешенного моделирования имеет место при условии, что

$$p^+(1 + \rho^2) < 1.$$

Покажем, что применение расслоения уменьшает значение  $t$ .

*Тестовый пример.* Оценим этот возможный выигрыш при моделировании маловероятных событий на примере расчета надежности системы, структурная схема которой изображена в виде случайного графа на рис. 1 [4].

Вершины (элементы системы) 1, ..., 15 имеются в графе с вероятностями  $q_1, \dots, q_{15}$  соответственно, дуги абсолютно надежны. Система работоспособна, если из полюса  $\Gamma$  есть пути во все полюса — П1, П2, П3 (движение против ориентированных дуг запрещено). Требуется найти вероятность отказа системы при следующих вариантах: I)  $q_1 = q_2 = q_3 = 10^{-5}$ ; II)  $q_4 = q_6 = q_9 = 2 \cdot 10^{-5}$ ; III)  $q_{10} = \dots = q_{15} = 5 \cdot 10^{-5}$ .

Для вариантов I и II известны точные решения [4], которые приведены в табл. 1 (графа  $A$ ). В [2] представлены результаты расчетов, проведенных методом РВМ без расслоения, содержащие значения оценок  $\hat{Q}\xi$  для  $M\xi$  и оценки  $\hat{\vartheta}$  для коэффициентов вариации СВ  $\hat{Q}\xi$  (табл. 1, графа  $B$ ). Видно, что при хорошей точ-

ности оценок  $\hat{Q}_\xi$  в целом при появлении некоторого разброса в исходных данных (вариант III) значение  $\hat{\Phi}$  заметно возрастает.

Эта же задача решена методом равновзвешенного моделирования с расслоением. Система, представленная на рис. 1, имеет связность  $\gamma = 2$ . Анализ показывает, что для данных значений отказов элементов при расслоенном моделировании достаточно рассмотреть слои с кратностью отказов  $i = 2; 3$ .

Разделение элементов системы на группы состояло в выделении для  $i = 2$  и  $i = 3$  одних и тех же четырех групп элементов с номерами 1, 2, 3; 4, 6, 9; 5, 7, 8 и 10, ..., 15 соответственно. При этом получены результаты, приведенные в графе  $C$  табл. 1. Видно, что для варианта III показатель  $\hat{\Phi}$  оказался примерно таким же, как и для вариантов I и II.

Для рассматриваемого примера  $p^+ = 2,7 \cdot 10^{-4}$  и  $\rho_\gamma^2 = 0,303$ . Согласно (2) выигрыш в числе испытаний при расслоении и равновзвешенном моделировании по сравнению с прямым моделированием по методу Монте-Карло составит  $t_1 = 2,84 \cdot 10^3$  раз.

Этот пример показывает, насколько эффективно применение расслоения при моделировании редких событий. Применение же РВМ упрощает процесс моделирования.

#### Сопоставлению альтернатив при одном и том же датчике псевдослучайных чисел

В современных инфокоммуникационных сетях, прежде всего в сети Интернет, перемешиваются потоки данных, весьма разнообразных по содержанию и свойствам. Совокупность таких потоков порождает так называемый фрактальный (самоподобный) трафик.

Фрактальный трафик адекватно описывается распределениями вероятностей с тяжелыми хвостами, в частности, распределением Парето [5, 6] в виде

$$F(t) = 1 - \left( \frac{K}{t} \right)^\alpha, \quad t \geq K, \quad (3)$$

где  $\alpha$  — параметр формы;  $K$  — граничный параметр, задающий минимальное значение СВ  $x$ . Далее распределение Парето будем обозначать в виде  $Pa(K, \alpha)$ . Из (3) видно, что положительный параметр  $\alpha$  — это просто показатель степени, а положительный параметр  $K$  играет роль масштабного коэффициента.

Математическое ожидание и дисперсия случайной величины, распределенной по Парето, определяются следующими выражениями:

$$M(x) = \frac{\alpha K}{\alpha - 1}, \quad D(x) = \frac{\alpha K^2}{(\alpha - 1)^2 (\alpha - 2)}.$$

Если  $\alpha > 1$ , то математическое ожидание конечно, дисперсия конечна только при  $\alpha > 2$ .

Стохастическая фрактальность трафика существенно влияет на качество связи. Исследования концентрируются вокруг статистических характеристик очередей. Буферизация сообщений рассматривается как основная обеспечивающая ресурсами стратегия. Оказывается, что традиционный анализ очередей, в основе которого лежит предположение о пуссоновском потоке, не может точно предсказать производительность системы в условиях самоподобного трафика. Более того, для самоподобного трафика потребуются буферы гораздо большего размера, чем предсказывает классический анализ очередей [6]. Естественный вопрос: насколько больше?

Ограниченные возможности применения точных и приближенных аналитических методов исследования очередей при фрактальном трафике приводят к использованию имитационного моделирования. При этом имитационное моделирование сопряжено с рядом специфических вычислительных проблем, в частности, с неадекватностью отображения потоков поступлений при одном и том же датчике псевдослучайных чисел (random).

Покажем это на примере оценивания характеристик очередей в СМО  $M|M|1$  и  $M|Pa|1$ , поскольку такое сопоставление можно провести и теоретически, используя формулу Полячека – Хинчина [7], и экспериментально.

Для прямой процедуры обслуживания при входящем пуссоновском потоке [8] получено отношение средних длин очередей  $L_{c,p}$  и  $L_{c,e}$  при Парето и экспоненциальном распределениях времен обслуживания в виде

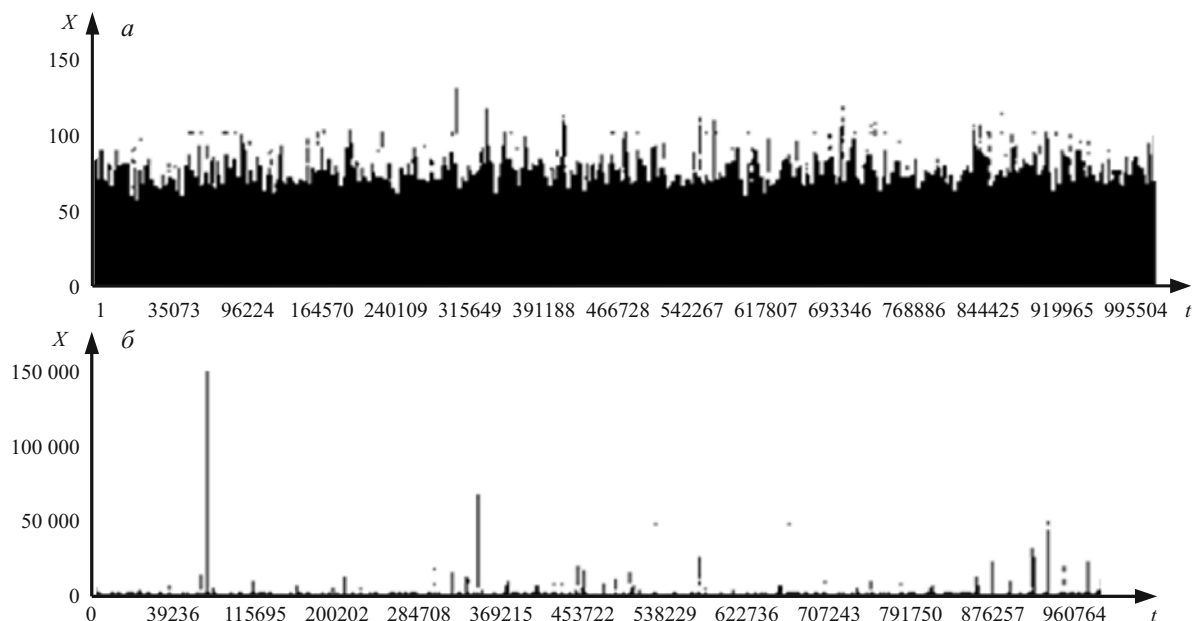
$$\frac{L_{c,p}}{L_{c,e}} = \frac{1}{2} \frac{\alpha(\alpha-2)+1}{\alpha(\alpha-2)}. \quad (4)$$

Производная выражения (4) отрицательна, т.е. с увеличением  $\alpha$  значение отношения (4) устойчиво уменьшается и при  $\alpha = 1 + \sqrt{2}$  становится равным единице.

Таким образом, при фрактальном трафике, длительности поступлений которого описываются распределением Парето со значениями параметра  $\alpha > (1 + \sqrt{2})$ , средняя длина очереди для экспоненциальной СМО  $M|M|1$  превышает аналогичную характеристику очереди для СМО  $M|Pa|1$  при одинаковой входящей нагрузке для обеих СМО.

Однако при анализе узлов сети в условиях фрактального трафика наиболее актуален диапазон значений параметра  $\alpha$  от 1 до 2 [9]. При этих условиях формула Полячека – Хинчина не работает, соответственно не работает и соотношение (4).

Оценивание влияния самоподобия на характеристики очереди при значениях  $1 < \alpha \leq 2$  выполнено с применением численного эксперимента на имитационной модели соответствующей СМО [10]. Результаты эксперимента представлены в табл. 2, где  $L_{c,p}$



**Рис. 2.** Выборки поступлений при экспоненциальном ( $\lambda = 0,1$ ) (а) и Парето ( $\alpha = 1,1$ ) (б) распределениях значений поступлений  $m = 10$

и  $L_{m,n}$  — среднее и максимальное значения очереди при Парето-распределении (ПР) поступлений;  $L_{c,\alpha}$  и  $L_{m,\alpha}$  аналогичные значения очереди при экспоненциальном распределении поступлений (ЭР);  $\rho$  — коэффициент загрузки СМО. Видно, что сопоставление характеристик очереди при ЭР и ПР размеров поступлений (длительностей сообщений) производит «удручающее» впечатление.

Обратимся к выборкам из Парето- и экспоненциально распределенных значений случайных величин. Выборки выполнены без ограничения значений random (рис. 2, где шкала ординат  $X$  — значения длительности поступлений; шкала абсцисс  $t$  — последовательное во времени количество поступлений).

Обращает на себя внимание тот факт, что максимальные значения длительностей поступлений, распределенных по Парето, почти в 1000 раз выше, чем при экспоненциальном распределении. Но ведь размеры поступлений отображают возможные длительности сообщений одного и того же трафика. Поэтому столь значительной разницы в отображении максимальных значений длительностей сообщений быть не должно. При «прямом» моделировании такое раз-

личие изначально заложено в генерации реализаций случайной величины рассматриваемых распределений. Максимальные выборочные значения случайных величин (длительностей сообщений), экспоненциально ( $y_{\max}^e$ ) и Парето ( $y_{\max}^p$ ) распределенных, существенно разнятся. Так, при  $\text{random}_{\min} = 10^{-4}$  для распределения Парето при  $m = 10$ ,  $\alpha = 1,1$  имеем  $y_{\max}^p = \frac{1,618}{1,1\sqrt{10^{-4}}} = 17000,3$ , при  $\alpha = 2$  значения  $y_{\max}^p = 505$ ; для экспоненциального распределения —  $y_{\max}^e = m \ln 10^4 = 92,2$ .

При увеличении диапазона дискретности эта разница в возможных выборочных максимальных значениях еще более возрастает. Получается, что такое прямое сопоставление значений очередей в СМО  $M|M|1$  и  $M|Pa|1$  некорректно.

Максимальные значения сообщений одного и того же реального трафика априори отображаются разными значениями при ПР и при ЭР длительности поступлений: при одном и том же датчике случайных чисел заведомо  $y_{\max}^p > y_{\max}^e$  [11].

В табл. 3 представлены статистические характеристики Парето ( $\alpha = 1,1$ ;  $k = 5$ ) и экспоненциально распределенных длительностей поступлений при ограничении, учитывающем возможный диапазон  $[l_{\min}, l_{\max}]$  размеров поступающих сообщений. Такой подход имеет смысл из-за существования верхнего предела на размеры передаваемых кадров  $L_k$ .

Приведенные в табл. 3 данные получены в результате численного эксперимента с имитационными моделями СМО  $M|Pa|1$  и  $M|M|1$ . Схема эксперимента показана на рис. 3.

**Таблица 2.** Сравнительные характеристики очереди СМО  $M|M|1$  и  $M|Pa|1$

Отношение очередей	$\alpha$	$\rho$			
		0,25	0,5	0,7	0,9
$L_{c,n}/L_{c,\alpha}$	1,1	16820,8	5708,0	1959,1	808,3
	1,5	12,7	12,9	14,6	24,1
	2,41	0,95	0,96	0,94	0,97
$L_{m,n}/L_{m,\alpha}$	1,1	1384,9	1373,1	730,9	278,4
	1,5	51,5	44,5	35,0	22,9
	2,41	7,0	8,5	6,2	3,9

**Таблица 3.** Статистические характеристики Парето ( $\alpha = 1,1$ ) и экспоненциально распределенных длительностей поступлений при ограничении на размеры сообщений

№ п/п	$M Pa 1$				$M M 1$			
	$\frac{l_{\min} - l_{\max}}{y_{\max}}$	$N_2$	$\frac{D_2}{m_2^2}$	$\frac{D_1}{m_1^2}$	$\frac{l_{\min} - l_{\max}}{y_{\max}}$	$N_2$	$\frac{D_2}{m_2^2}$	$\frac{D_1}{m_1^2}$
1	$\frac{5-50}{1855032}$	1086696	3317,5	0,53	$\frac{5-50}{603}$	1703447	1,001	0,29
2	$\frac{5-100}{2803142}$	1038484	5680,1	1,01	$\frac{5-100}{567}$	1262604	0,995	0,45
3	$\frac{5-1000}{2438309}$	1002970	4668,8	5,97	$\frac{5-1000}{527}$	1126757	1,001	0,80
4	$\frac{5-2,5 \cdot 10^4}{14438902}$	1000086	7039,5	63,76	$\frac{5-2,5 \cdot 10^4}{809}$	1095587	1,003	0,84
5	$\frac{5-5 \cdot 10^4}{900547,5}$	1000044	1864,9	105,95	$\frac{5-5 \cdot 10^4}{572}$	1130892	1,001	0,79

Объемы выборочных данных:  $N_1 = 10^6$  — для диапазона  $[l_{\min}, l_{\max}]$ ;  $N_2$  — для диапазона  $[y_{\min}, y_{\max}]$  (см. табл. 3, графа 2 при ПР, графа 6 при ЭР). В графах 3 и 7 представлены отношения оценочных дисперсий к квадратам средних значений размеров поступлений при ПР и ЭР соответственно без ограничения значений random, в графах 4 и 8 — те же отношения при ограничении минимального значения random ( $10^{-4}$ ).

Среднее значение размера поступлений  $m_2$  при экспоненциальном распределении длительностей поступлений взято равным статистической оценке  $m_2$  Парето-распределения длительностей поступлений для того, чтобы сохранить одинаковую нагрузку при обслуживании поступающих требований.

Соотношения средних значений очередей  $L_{c,p}$  ( $M|Pa|1$ ) и  $L_{c,e}$  ( $M|M|1$ ), вычисленные с использованием формулы Полячека — Хинчина и соответствующих статистик (см. табл. 3, графы 3 и 7) без учета калибровки моделей потоков к диапазону  $[l_{\min}, l_{\max}]$  дали следующий результат варианты: 1 — 1659,0; 2 — 2913,4; 3 — 2334,9; 4 — 3467,9; 5 — 1426,6.

В табл. 4 представлены соотношения средних и максимальных ( $L_{m,p}$  и  $L_{m,e}$ ) значений очередей тех же СМО, соответствующие выборочным данным при  $y_{\max}^p \geq l_{\max}$  и  $y_{\max}^e \geq l_{\max}$  (см. табл. 3, строки 1 и 2) и  $y_{\max}^p \geq l_{\max}$  и  $y_{\max}^e < l_{\max}$  (см. табл. 3, строки 3, 4, и 5) диапазонов  $[l_{\min}, l_{\max}]$ .

При перекрытии диапазонов как при экспоненциальном распределении, так и при Парето отличие характеристик очередей незначительно (см. табл. 4, № вариантов 1 и 2). При перекрытии диапазонов при Парето-распределении и неперекрытии при экспоненциальном (см. табл. 4, № вариантов 3, 4 и 5) отличие возрастает по мере увеличения различия в выборочных максимальных значениях.

Анализ представленных в табл. 4 результатов позволяет сделать следующие выводы, связанные с особенностями моделирования и сопоставления очередей  $M|M|1$  и  $M|Pa|1$ .

**Таблица 4.** Соотношения средних и максимальных значений очередей СМО  $M|M|1$  и  $M|Pa|1$  при ограничении диапазона поступлений

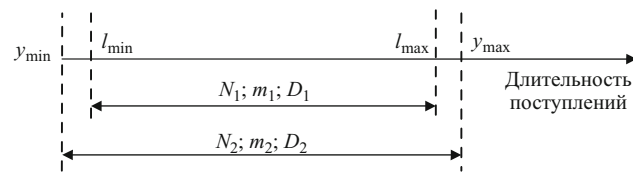
Отношение очередей	Номер варианта				
	1	2	3	4	5
$L_{c,p}/L_{c,e}$	1,25	1,34	3,83	35,2	56,0
$L_{m,p}/L_{m,e}$	1,04	1,43	3,48	38,4	46,1

Различие в характеристиках очереди между экспоненциальным обслуживанием и обслуживанием по Парето возрастает при увеличении нагрузки при  $\alpha = 1,1$ . При  $\alpha \geq 1,5$  различие от нагрузки значительно менее заметно и существенно снижается при увеличении значения  $\alpha$  (см. табл. 2).

Еще в большей степени выравнивание названных характеристик очередей заметно при приведении выборочных значений экспоненциальному и Парето распределенных случайных величин к возможному диапазону размеров сообщений реального трафика.

Но калибровка распределения Парето к диапазону длительностей протокольных единиц трафика есть не что иное как «обрубание» хвостов распределения Парето. Распределение Парето с хвостами, обрубленными по максимумам выборок ограниченного объема, отличаются от неусеченных Парето распределений принципиально (особенно при бесконечных дисперсиях).

В физическом смысле такое усечение распределения Парето оправдано. Но насколько такое усечение



**Рис. 3.** Схема эксперимента

корректно и является ли «усеченное» распределение Парето распределением с «тяжелыми хвостами»?

Рассмотренные две задачи связаны с особенностями применения имитационного моделирования при исследовании сложных технических систем.

При наличии в модели случайных факторов имитационные эксперименты выполняются с привлечением метода статистических испытаний, или метода Монте-Карло. Известный недостаток метода Монте-Карло заключается в его медленной сходимости. Этот недостаток особенно проявляется при анализе сложных систем и оценивании редких событий.

Ускорить моделирование — значит добиться большей точности при том же числе опытов (испытаний) или получить требуемую точность при меньшем числе опытов. Ускорение может достигаться за счет соответствующего аналитического преобразования решаемой задачи, в частности, за счет применения расслоения при моделировании редких событий.

При многократных повторах численного эксперимента с имитационной моделью весьма существенная доля машинного времени тратится на формирование реализаций случайного вектора, задающего состояния элементов системы, компоненты которого характеризуются в общем случае различными и подчас трудно реализуемыми на ЭВМ законами распределения. Применение же равновзвешенного моделирования существенно упрощает процесс генерации возможных состояний моделируемой системы.

Как показывает приведенный в первой задаче пример, сочетание расслоенной выборки с равновзвешенным моделированием позволяет значительно ускорить алгоритмический анализ моделей стохастических систем методом имитации.

Сопоставление выборочных значений очередей, полученных на имитационных моделях фрактальной и классической СМО при использовании одного и того же датчика псевдослучайных чисел, выявило новую проблему.

И фрактальная, и экспоненциальная случайные величины распределены до бесконечных значений. Но один и тот же датчик псевдослучайных чисел выдает максимальное значение для Парето распределенной случайной величины во много раз большее, чем для экспоненциально распределенной. Но ведь размеры поступлений отображают возможные длительности сообщений одного и того же трафика. Поэтому такой значительной разницы в отображении максимальных значений длительностей сообщений быть не должно. Для корректного сопоставления оценок очередей приходится распределения поступлений либо нормировать по отношению к возможному диапазону значений передаваемых сообщений, либо калибровать. Однако это утверждение требует дополнительного исследования.

## ЛИТЕРАТУРА

1. Клейнен Дж. Статистические методы в имитационном моделировании. — М.: Статистика, 1978. С. 221 – 335.
2. Плакс Б. И. Расчет надежности систем со сложной структурой ускоренным методом Монте-Карло / Изв. АН СССР. Техническая кибернетика. 1983. № 6. С. 158 – 162.
3. Кутузов О. И., Задорожный В. Н. Аналитико-статистический метод расчета высоконадежных систем связи / Техника средств связи. Сер. Техника проводной связи. 1990. Вып. 1. — 10 с.
4. Рябинин И. А., Черкесов Г. Н. Логико-вероятностные методы исследования структурно-сложных систем. — М.: Радио и связь, 1981. — 264 с.
5. Шелухин О. И. Мультифракталы. Инфокоммуникационные приложения. — М.: Горячая линия. Телеком, 2011. — 576 с.
6. Столингс В. Современные компьютерные сети. — СПб.: Питер, 2003. — 784 с.
7. Zwart A. P. Queueing Systems with Heavy Tails. — Eindhoven University of Technology, 2001. — 227 p.
8. Тонг Минь Ди, Кутузов О. И. Оценка влияния самоподобной нагрузки на характеристики очереди / Изв. СПбГЭТУ «ЛЭТИ». Сер. Информатика, управление и компьютерные технологии. 2006. Вып. 3. С. 35 – 38.
9. Ур'ев Г. А. Исследование фрактальных свойств потоков трафика реального времени и оценка их влияния на характеристики обслуживания телекоммуникационных сетей: автореф. дис. ... канд. техн. наук. — М., 2007.
10. Кутузов О. И., Марфин С. А. Сравнительный анализ очереди при самоподобной нагрузке / Изв. СПбГЭТУ «ЛЭТИ». 2014. № 3. С. 20 – 23.
11. Кутузов О. И., Татарникова Т. М. К оцениванию и сопоставлению очередей классических и фрактальных систем массового обслуживания / Информационно-управляющие системы. 2016. № 2. С. 48 – 55.

## REFERENCES

1. Kleinen J. Statistical techniques in simulation. Vol. 1. — New York: Marcel Dekker, 1974.
2. Plaks B. I. Raschet nadezhnosti sistem so slozhnoi strukturoi uskorenym metodom Monte-Karla [Calculation of systems reliability with complex structure accelerated Monte Carlo] / Izv. AN SSSR. Tekhn. Kibern. 1983. N 6. P. 158 – 162 [in Russian].
3. Kutuzov O. I., Zadorozhnyi V. N. Analitiko-statisticheskii metod rascheta vysokonadezhnykh sistem svyazi [Analytical and statistical method for the calculation of highly reliable communication systems] / Tekhnika sredstv svyazi. Ser. Tekhnika provodnoi svyazi [Communication technology. Ser. Technique of wire communication.], 1990. Issue 1. — 10 p. [in Russian].
4. Ryabinin I. A., Cherkesov G. N. Logiko-veroyatnostnye metody issledovaniya strukturno-slozhnykh sistem [Logical and probabilistic methods for studying structure-complex systems]. — Moscow: Radio i svyaz', 1981. — 264 p. [in Russian].
5. Shelukhin O. I. Mul'tifraktaly. Infokommunikatsionnye prilozheniya [Fractal processes in telecommunications]. — Moscow: Goryachaya liniya. Telekom, 2011. — 576 p. [in Russian].
6. Stolings V. Sovremennye kom'yuternye seti [Modern computer networks]. — St. Petersburg: Piter, 2003. — 784 p. [Russian translation].
7. Zwart A. P. Queueing Systems with Heavy Tails. — Eindhoven University of Technology, 2001. — 227 p.
8. Tong Min Dic, Kutuzov O. I. Otsenka vliyanija samopodobnoi nagruzki na kharakteristiki ocheredi [Assessing the impact of self-similar load on the line characteristics] / Izv. SPBÉTU «LÉTI». Ser. Inform. Upravl. Kom'yuuter. Tekhnol. 2006. Issue 3. P. 35 – 38 [in Russian].
9. Ur'ev G. A. Issledovanie fraktal'nykh svoistv potokov trafiaka real'nogo vremeni i otsenka ikh vliyanija na kharakteristiki obsluzhivaniya telekommunikatsionnykh setei [The study of fractal properties of real-time traffic flows and assessing their impact on the characteristics of the service of telecommunication networks]. Author's abstract of candidate's thesis. — Moscow, 2007 [in Russian].
10. Kutuzov O. I., Marfin S. A. Sravnitel'nyi analiz ocheredi pri samopodobnoi nagruzke [Comparative analysis of the queue when self-similar load] / Izv. SPbGÉTU «LÉTI», 2014. N 3. P. 20 – 23 [in Russian].
11. Kutuzov O. I., Tatarnikova T. M. K otsenivaniyu i sopostavleniyu ocheredei klassicheskikh i fraktal'nykh sistem massovogo obsluzhivaniya [For evaluation and comparison of classical and fractal queues queuing systems] / Inf.-Upravl. Sist. 2016. N 2. P. 48 – 55 [in Russian].